

長方形水路の摩擦速度分布について

日本大学工学部 正員 木村喜代治

長方形水路における流れが層流の場合は摩擦速度分布を理論的に求めることは出来ます。しかし乱流の場合は二次流が存在し Reynolds の運動方程式から理論的に摩擦速度分布を求めることが困難である。乱流の場合には近似的に求められる方法としては、先きに著者の示した方法や Keulegan²⁾, Einstein, Powell³⁾, Haywood, 足立などの流水断面積分割法および Keulegan⁴⁾による三角関数的表示法などがある。なお、断面積分割法では、ある一つの渦辺については一様な平均的な値が示される。

本報は乱流理論からみて、著者の方法や断面積分割法について検討を加え、また Bazin の実験結果を用いてこれらの方法や Keulegan⁵⁾による三角関数的表示法などについて若干の考察を試みた。

Reynolds の運動方程式は

$$\left. \begin{aligned} \rho \left\{ \frac{\partial \bar{u}}{\partial t} + \bar{u} \frac{\partial \bar{u}}{\partial x} + \bar{v} \frac{\partial \bar{u}}{\partial y} + \bar{w} \frac{\partial \bar{u}}{\partial z} \right\} &= - \frac{\partial}{\partial x} (\bar{p} + \rho g \xi) + \frac{\partial}{\partial x} (\bar{T}_{xx} - \rho \bar{u}' \bar{u}') + \frac{\partial}{\partial y} (\bar{T}_{xy} - \rho \bar{u}' \bar{v}') + \frac{\partial}{\partial z} (\bar{T}_{xz} - \rho \bar{u}' \bar{w}') \\ \rho \left\{ \frac{\partial \bar{v}}{\partial t} + \bar{u} \frac{\partial \bar{v}}{\partial x} + \bar{v} \frac{\partial \bar{v}}{\partial y} + \bar{w} \frac{\partial \bar{v}}{\partial z} \right\} &= - \frac{\partial}{\partial y} (\bar{p} + \rho g \xi) + \frac{\partial}{\partial x} (\bar{T}_{xy} - \rho \bar{u}' \bar{v}') + \frac{\partial}{\partial y} (\bar{T}_{yy} - \rho \bar{v}' \bar{v}') + \frac{\partial}{\partial z} (\bar{T}_{yz} - \rho \bar{v}' \bar{w}') \\ \rho \left\{ \frac{\partial \bar{w}}{\partial t} + \bar{u} \frac{\partial \bar{w}}{\partial x} + \bar{v} \frac{\partial \bar{w}}{\partial y} + \bar{w} \frac{\partial \bar{w}}{\partial z} \right\} &= - \frac{\partial}{\partial z} (\bar{p} + \rho g \xi) + \frac{\partial}{\partial x} (\bar{T}_{xz} - \rho \bar{u}' \bar{w}') + \frac{\partial}{\partial y} (\bar{T}_{yz} - \rho \bar{v}' \bar{w}') + \frac{\partial}{\partial z} (\bar{T}_{zz} - \rho \bar{w}' \bar{w}') \end{aligned} \right\} \quad (1)$$

分子粘性によると法線および切線応力は小さい。流れは導流とし、二次流は主流に直角な方向も主流の方向にもないものとするとき、式(1)第2式および第3式より流れに直角な断面内では $\bar{p} + \rho g \xi = \text{Const} = \rho g H$ (H: 基準面よりの高さ)となる。また式(1)の第1式は

$$-\frac{\partial}{\partial x} (\bar{p} + \rho g \xi) - \frac{\partial}{\partial y} (\rho \bar{u}' \bar{v}') - \frac{\partial}{\partial z} (\rho \bar{u}' \bar{w}') = 0 \quad (2)$$

長方形水路(簡単のため左右壁面粗度は相等としてとする)は水路の中央で $\rho \bar{u}' \bar{v}' = 0$, 水面で $\rho \bar{u}' \bar{w}' = 0$ であることを Fig. 1 の射影部分について取り扱われる。式(2)をこの部分について積分すると

$$\int_0^{\frac{b}{2}} \int_0^h \left\{ \frac{\partial (-\rho \bar{u}' \bar{v}')}{\partial y} + \frac{\partial (-\rho \bar{u}' \bar{w}')}{\partial z} \right\} dy dz = \int_0^{\frac{b}{2}} \int_0^h \rho g \frac{\partial H}{\partial x} dy dz \quad (3)$$

この式の左辺は Green の定理を用いて

$$T_0 = \rho g R I \quad (4)$$

を得る (T_0 : 全渦辺平均の境界摩擦)。この計算過程において

$$\int_0^{\frac{b}{2}} \frac{\partial (-\rho \bar{u}' \bar{v}')}{\partial y} dy = -T_{av}, \int_0^h \frac{\partial (-\rho \bar{u}' \bar{w}')}{\partial z} dz = -T_b \quad (5)$$

である。この境界摩擦力の分布については、いまのところはこの式のみからは明らかに出来ない。そこで著者の方法は、二次元流れにおいて Prandtl の壁法則によつて流速分布がよく表わされると、長方形の流れの水平、鉛直方向に壁面近くを考えて

Prandtl の壁法則を用いた。また任意点の流速が、水平、鉛直方向より求めたとき同じにならざりであることを

$$\sqrt{T_w/p} = u_{zw} = K \cdot \ln(\frac{y}{y_0}), \sqrt{T_b/p} = u_{zb} = K \cdot \ln(\frac{y}{y_0}) \quad (6)$$

を得た。係数 K は式(4)を満足するように決定された。Keulegan などによると断面積分割法は断面積を底面

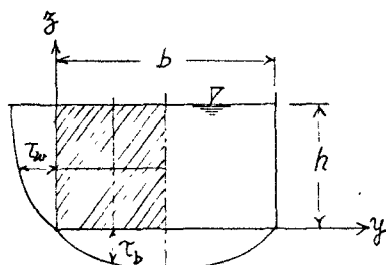


Fig. 1

および壁面によって支配された数個の部分に分割する。その分割内において流れを二次元乱流として、Prandtl の壁法則を適用し、この分割したものを合計し平均流速などを求めよ。境界摩擦力は各境界ごとに一様に取つたり、全境界に一様に取つたりする。元来、断面積分割法は、水路側壁の影響評価といふ観点から水理量の平均量に主眼を置いた取り扱いであり、乱れエネルギー消失過程を問題にしなり取扱いである。しかし、これはあえてこのことにつき考察を加えてみる。是立的論文に述べられておりのように、断面積分割法はその分割線上において平行壁間の流れの中央と同様に、鉛直および水平にそれを模倣する運動量の輸送はないとして取り扱つてよい。分割内において二次元流れて考えるのであるから、Fig. 3 を参照して式(5)を適用すると T_w は de 間では水深 h の二次元流となり $T_b = f U_{sh}^2 = \rho g h I$ 、cd 間では Keulegan の方法のように(壁面、底面が粗度零とい場合の取り扱い)分割線が直線であれば T_b は直線的に変化する。同様にして、 T_w は de では $T_w = \rho g h I$ 、 cd では 0 、 bc 間では Keulegan の方法のように(壁面、底面が粗度零とい場合の取り扱い)分割線が直線であれば T_b は直線的に変化する。同様にして、 T_w は de では $T_w = \rho g h I$ 、 cd では 0 、 bc 間では直線的に変化する。かおこおによつて全周辺の平均を取れば式(4)を満足していい。Keulegan による摩擦速度分布の三角関数近似は

$$\frac{U_{sh}}{U_{shR}} = A_b + B_b \sin\left(\frac{\pi}{2} \cdot \frac{2y}{b}\right), \quad \frac{U_{sw}}{U_{shR}} = A_w + B_w \sin\left(\frac{\pi}{2} \cdot \frac{2y}{h}\right) \quad (7)$$

$A_b = A_w$ などは U_{sh} 、 U_{sw} などの計測値から決定する定数である。Keulegan が直接式示していふのは $A_b = A_w$ であるが、計測値により合致せしめると意味で二定数を別にした。計測値からこれらの定数を最小自乗法などで求め、それにより示された式(7)より全周辺の境界摩擦力の総計を求める。しかしこの値は必ずしも断面全体の WAI に一致しない。そこでこれらの実験定数はこの補正をする必要がある。

Bazin の実験 Series 55 No. 2 と Series 56 について計算値と計測値と比較したのが Fig. 4, 5 である。

図中の破線は Fig. 3 に従つて示した計算値であり、実線は式

(6) による計算値また一点距離は定数を補正した式(7)による計

算値である。また
摩擦速度を全周辺
一律とすれば U_{sh} 、
 U_{sw}/U_{sh} は共に 1.0
となる。

参考文献一

1. 木村善治沿土学会

論譲, 1963, 1963

2. 木村善治沿土学会

論文集, 25号, 1976

3. G.H. Keulegan RP1151

, NBS, U.S.A., 1938

4. R.W. Powell : Trans A

SCE, Vol III, 1946

5. H. Bazin : l'Academie

des Sciences, Tome 19, 1865

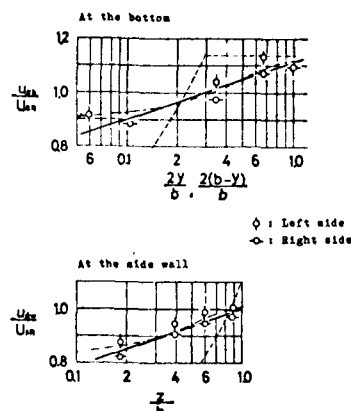


Fig. 4 Distribution of friction velocity, Bazin's data, series 55 No. 2.

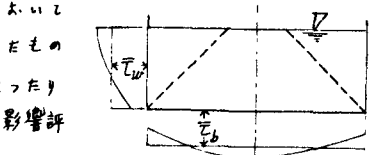


Fig. 2

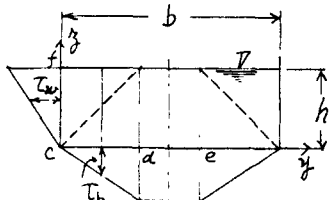


Fig. 3

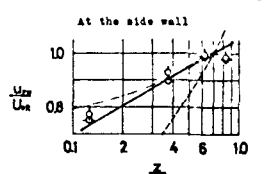
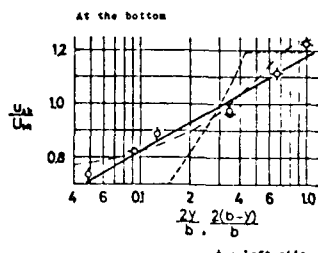


Fig. 5 Distribution of friction velocity, Bazin's data, series 56.